



ИНСТИТУТ КОСМИЧЕСКИХ ИССЛЕДОВАНИЙ РАН



ПЕРСПЕКТИВЫ КАРТОГРАФИРОВАНИЯ БОЛОТНЫХ КОМПЛЕКСОВ ЗАПАДНОЙ СИБИРИ НА ОСНОВЕ ВРЕМЕННЫХ СЕРИЙ ДАННЫХ ДЗЗ И МЕТОДОВ МАШИННОГО ОБУЧЕНИЯ

Шинкаренко Станислав
с.н.с. Отдела технологий спутникового мониторинга

Барталев С.А., Дюкарев Е.А., Головацкая Е.А.

Москва, 2024

Оценки площадей болот в России

369 млн га заболоченных земель, в т.ч. 139 млн га болот с мощностью торфа > 30 см (Вомперский и др., 2005)

Почвенно-географическая БД России: 154 млн га болот за пределами лесных земель на 2006 г. (soil-db.ru)

Глобальная БД торфяников: 456 млн га почв с содержанием органического вещества >12% (greifswaldmoor.de/global-peatland-database-en.html)

Карты типов земного покрова ИКИ РАН: ~130 млн га открытых болот (sci-vega.ru)

Исследование выполнено в рамках проекта Министерства науки и высшего образования РФ № 075-15-2022-1229 (13.2251.21.0179) «Применение технологий высокопроизводительных вычислений и больших данных для совместной разработки экономически эффективных автоматизированных методов широкомасштабного биомониторинга водно-болотных угодий. HPC and BigData applied to co-designing cost-efficient automation for large scale wetland biomonitoring»

Данные ДЗЗ получены и обработаны с использованием ЦКП «ИКИ-Мониторинг»

Проблемы картографирования болот

- Недостаточный масштаб почвенных и других карт, на основе которых получены имеющиеся оценки (недоучет в Северном полушарии до 25% (Hugelius et al., 2020)).
- Устаревание материалов разведки торфяных залежей.
- Наличие древесного яруса на болотах.
- Значительная мозаичность и комплексность болот.
- Необходимость разработки общепринятой типологии болотных комплексов.

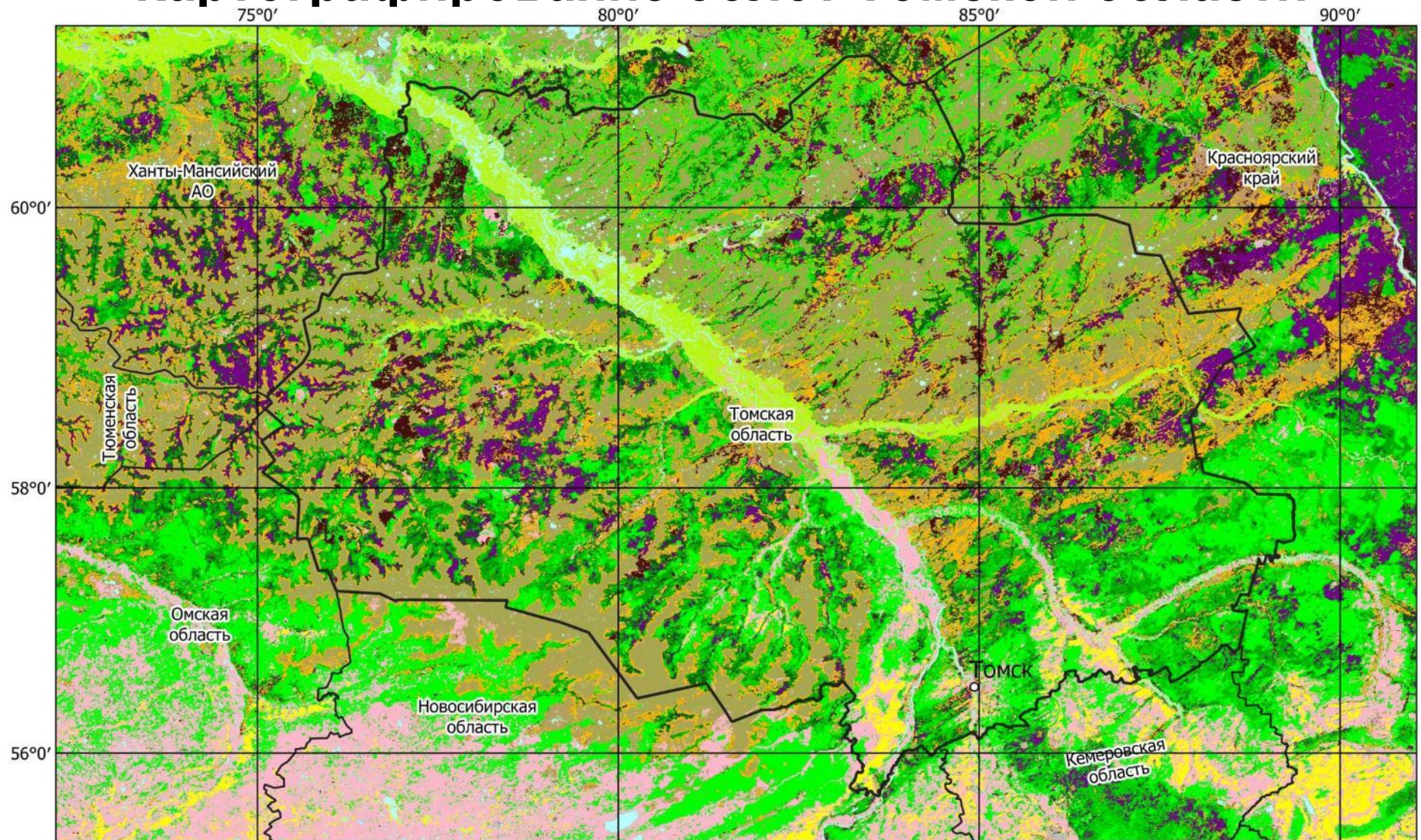


Картографирование болот Западной Сибири

- Разработка типологии болотных комплексов с перспективой расширения на территорию страны.
- Подготовка опорных данных для обучения алгоритмов классификации, включающих как болота, так и отличные от них земли.
- Классификация ежедневных временных рядов спутниковых данных MODIS.
- Оценка точности результатов классификации.



Картографирование болот Томской области



Типология болот Томской области

Сосново-кустарничково-сфагновое болото (рям) – олиготрофное болото с древесным ярусом сосны на периферии болот, склонах болот, дренированных участках, на выпуклых внутриболотных островах. Лесные микроландшафты характеризуются хорошо развитым древесным ярусом. Сомкнутость крон деревьев 0,5-0,8, высота деревьев 2-6 м. Травяно-кустарничковый ярус представлен в основном кустарничками (багульник, кассандра, брусника, черника), местами встречаются пушица и осока. Моховой ярус состоит в основном из сфагновых мхов. Рямы встречаются на окраинах болота, вдоль рек и ручьев, вокруг крупных озер.

Рямово-мочажинный комплекс – олиготрофное болото по составу древесной растительности, аналогичное рямам, но с разреженным древостоем без кустарничкового яруса, с небольшими травяно-сфагновыми мочажинами. Приурочены к склонам и окраинам болот. Так же к этому классу отнесены сосново- пушицево-сфагновые болота. Древесный ярус несколько угнетен по сравнению с лесными микроландшафтами. Сомкнутость крон деревьев порядка 0,3-0,4, высота деревьев 1-5 м, отдельных – до 5-6 м. Кустарничковый ярус хорошо развит и представлен в основном багульником, кассандрой, подбелом, брусникой и клюквой. Моховой ярус из сфагновых мхов, местами с примесью лишайников и зеленых мхов.

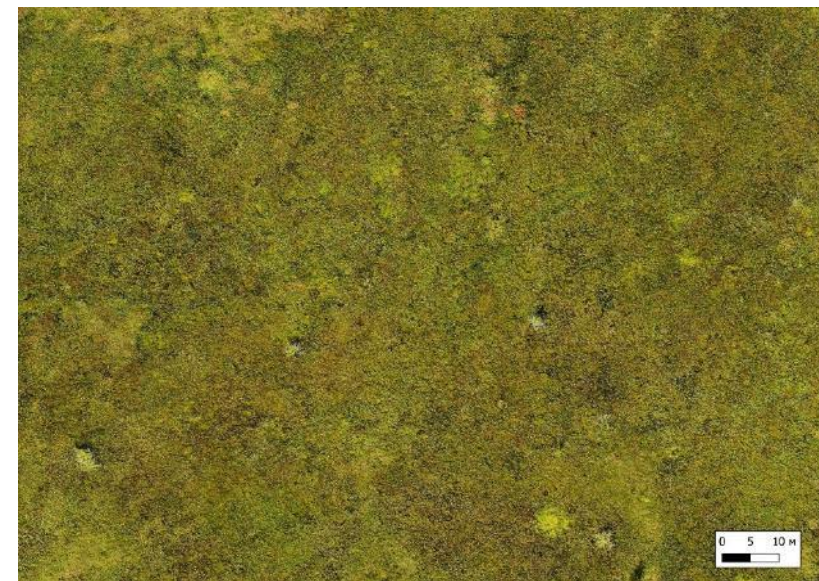
Древесное кустарничково-мохово-разнотравное болото (согра) – эвтрофное сосново-елово-кедрово-берёзовое, березово-травяное и ивово-осоковое лесные болота в поймах и на террасах рек.

Грядово-мочажинный и грядово-мочажинно-озерковый комплекс – олиготрофное или мезотрофное древесно-травяное, кустарничково-моховое или травяно-моховое болото, включающее чередующиеся участки приподнятых элементов микрорельефа (гряда) с сосной, кустарничками и пониженных элементов (мочажина) с травами и мхами. Ориентированной или беспорядочной структуры. Возможно разделение на крупно-средне- и мелко-мочажинный тип. Расположены в центральной части водораздельных болотных массивов и вдоль линий стекания. На грядово-мочажинно-озерковых комплексах гряды и мочажина чередуются с участками открытой воды. Возможны гряды с сосной или без древесного яруса. Крупные внутриболотные озера попадают в отдельный класс водных объектов.

Травяно-сфагновая топь – олиготрофная или мезотрофная обводненная осоково- пушицево- шейхцерицево- разнотравно-сфагновая топь, тянущаяся вдоль линий стекания с болот, по периферии болотных массивов и внутриболотных островов, в центральной части водораздельных болот, встречаются в прибереговой полосе вблизи крупных озер. Древесный ярус почти не развит, встречаются местами отдельные низкорослые деревья с сухостоем.

Осоково-гипновое болото – эвтрофное открытое травяно-моховое пойменное, террасные болота и южные отроги Васюганского болота в Северобарабинском округе подтаежных эвтрофных болот.

Открытые болота



Облесенные болота



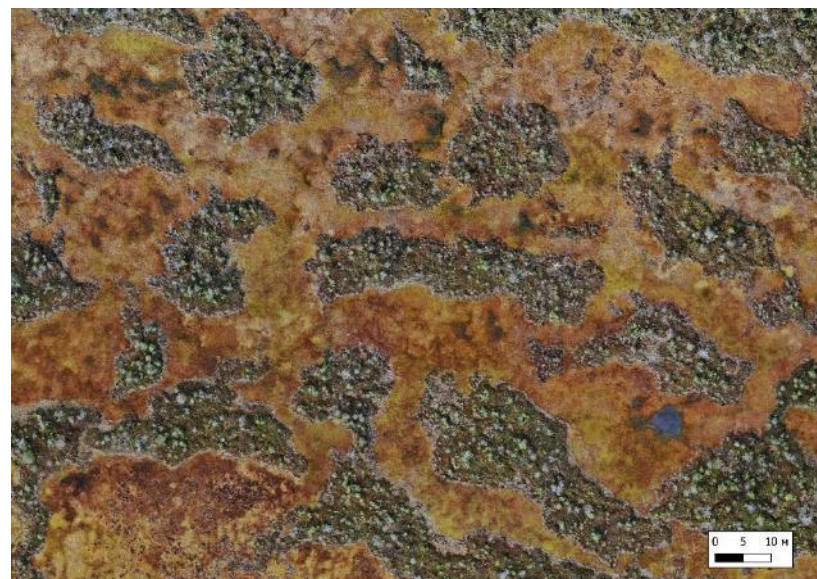
Согра



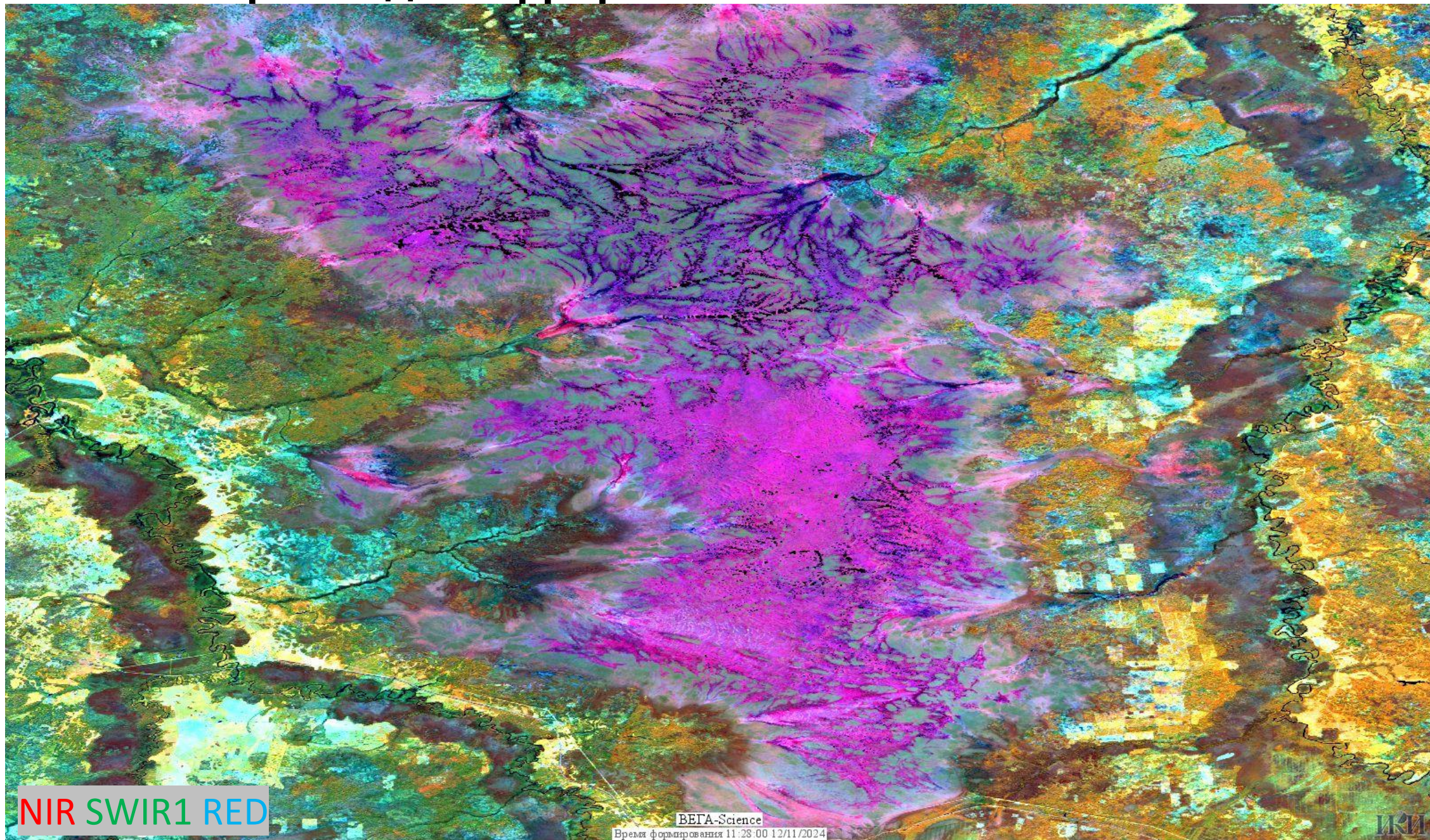
Рям (сосново-кустарничково-сфагновое болото)



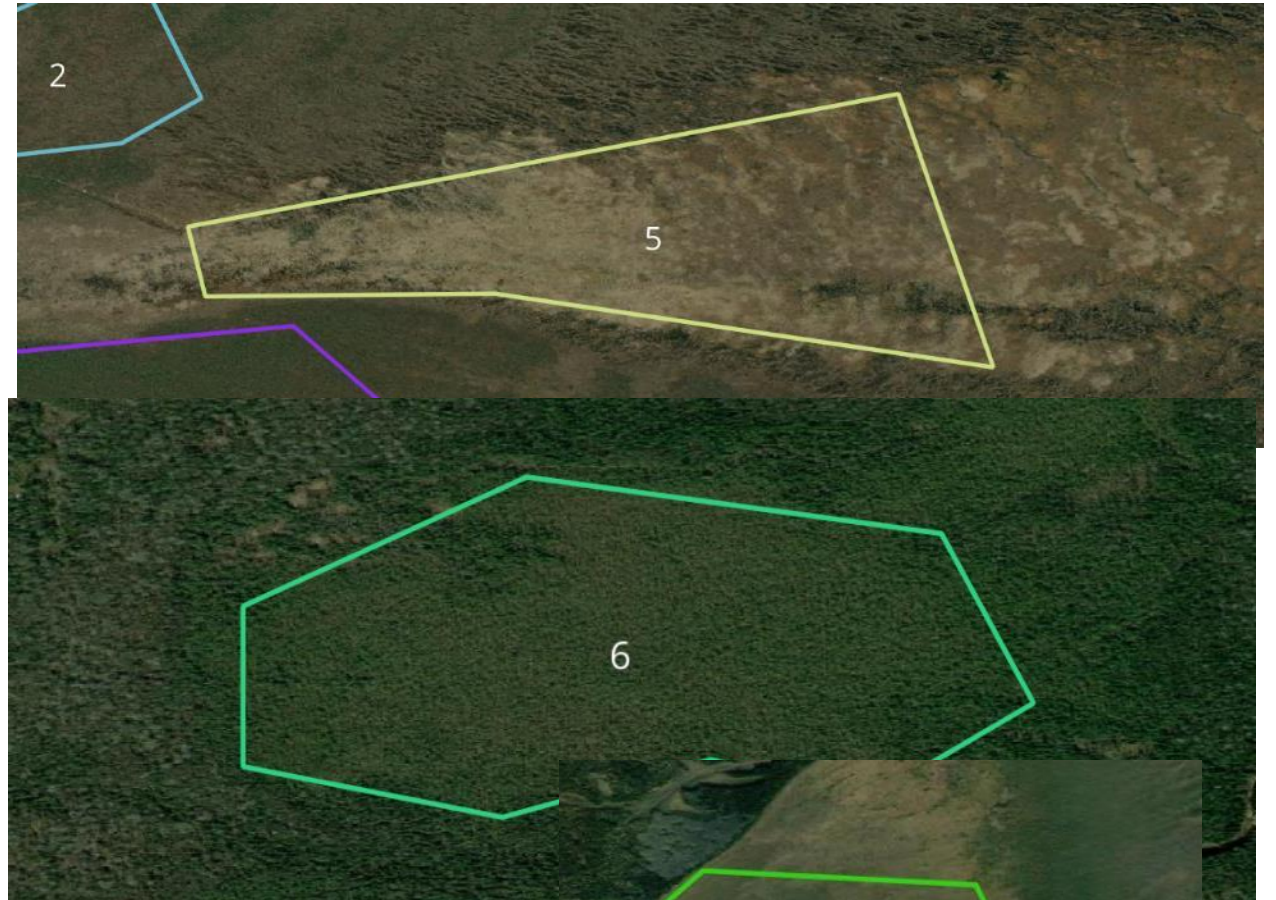
Грядово-мочажинные комплексы



Экспертное дешифрирование болотных комплексов

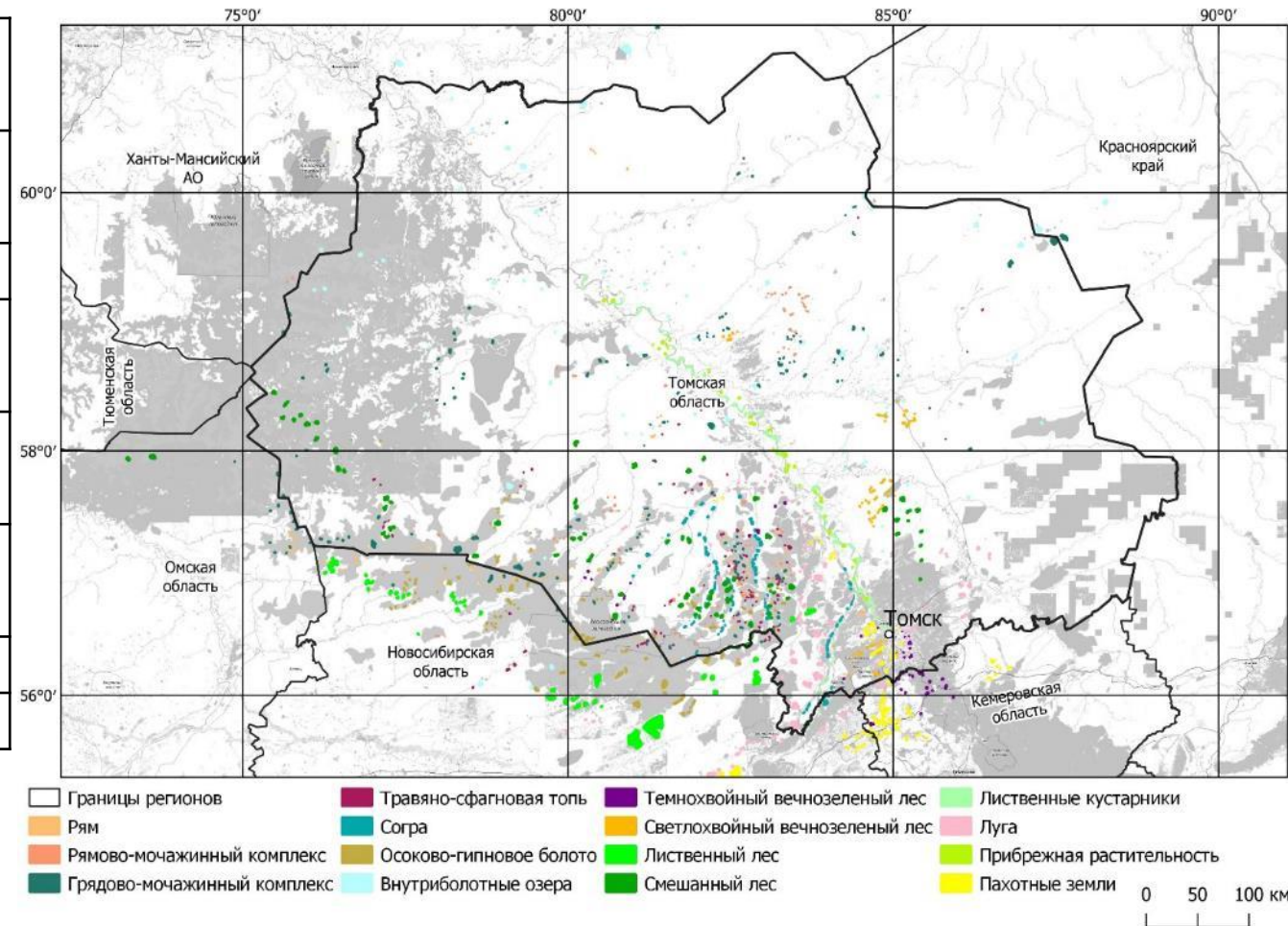


Создание опорной выборки

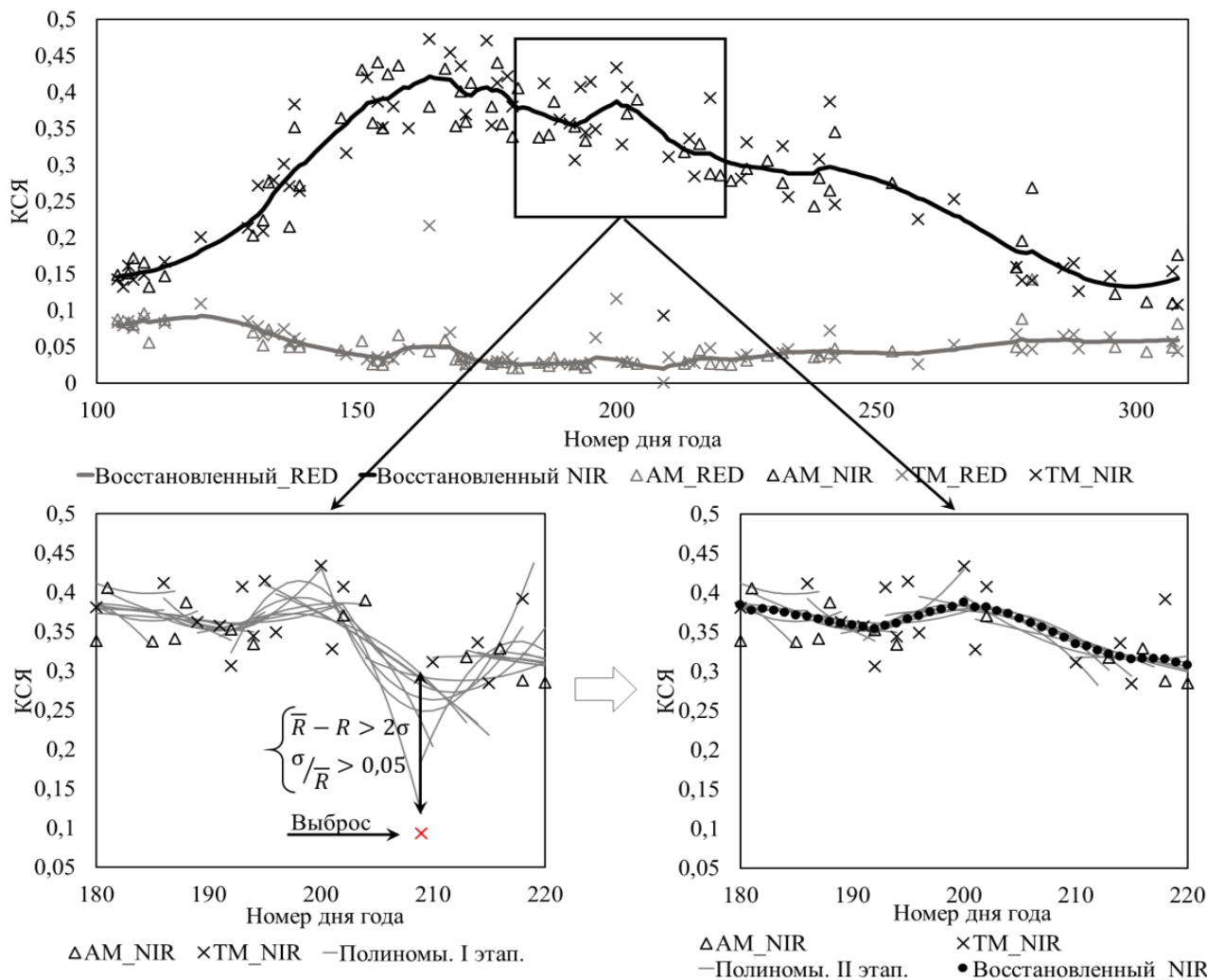


Создание опорной выборки

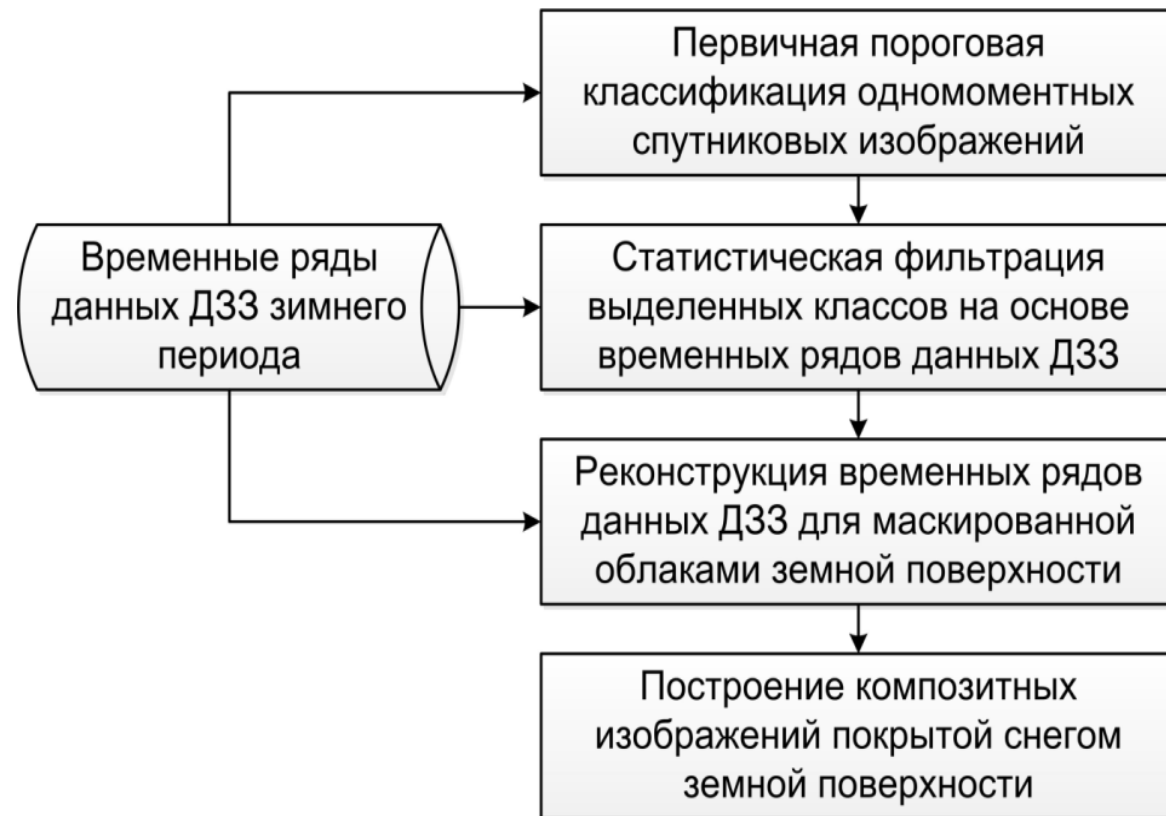
| № | Тип | Количество пикселей |
|---|--|---------------------|
| 1 | Сосново-кустарничково-сфагновое болото (рям) | 977 |
| 2 | Рямово-мочажинный комплекс | 807 |
| 3 | Грядово-мочажинный комплекс | 5790 |
| 4 | Травяно-сфагновая топь | 542 |
| 5 | Древесное кустарничково-мохово-разнотравное болото (согра) | 3534 |
| 6 | Осоково-гипновое болото | 5473 |
| 7 | Внутриболотные озера | 6029 |



Композитные спутниковые изображения с устраненным влиянием облачности



Ежедневные временные ряды данных ДЗЗ



Зимние композитные изображения при наличии снежного покрова

Картографирование болот Томской области

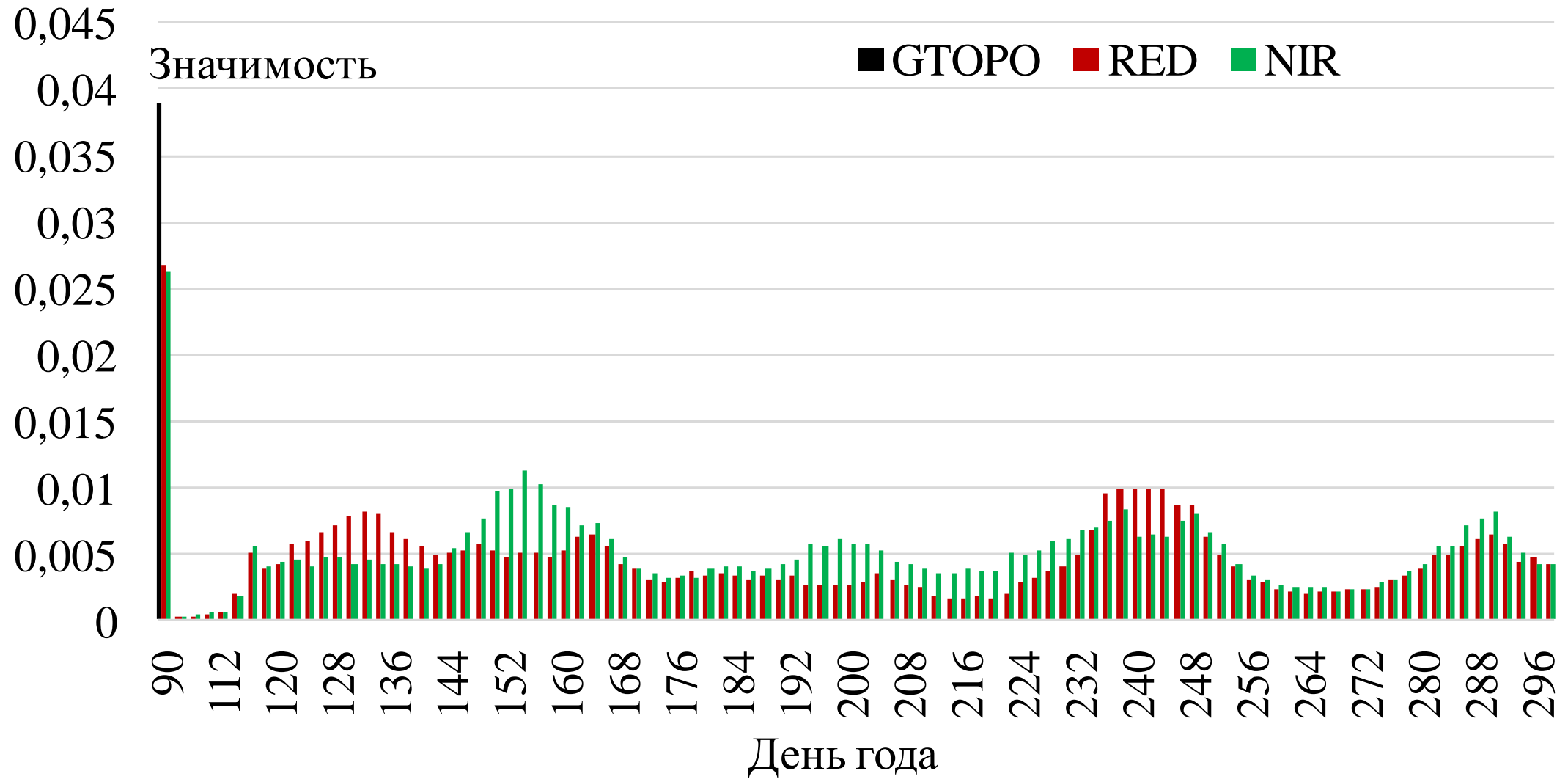
Только болота в выборке

| № | Тип экосистем | Точность | Полнота | F1 |
|----------------|--|----------|---------|------|
| 1 | Сосново-кустарничково-сфагновое болото (рям) | 0,89 | 0,56 | 0,69 |
| 2 | Рямово-мочажинный комплекс | 0,82 | 0,65 | 0,72 |
| 3 | Грядово-мочажинный комплекс | 0,92 | 0,48 | 0,63 |
| 4 | Грядово-озерковый комплекс | 0,89 | 0,99 | 0,93 |
| 5 | Травяно-сфагновая топь | 0,96 | 0,63 | 0,76 |
| 6 | Древесное кустарничково-мохово-разнотравное болото (согра) | 0,96 | 0,99 | 0,98 |
| 7 | Осоково-гипновое болото | 0,93 | 0,99 | 0,96 |
| 8 | Внутриболотные озера | 0,99 | 0,99 | 0,99 |
| Общая точность | | 0,93 | | |

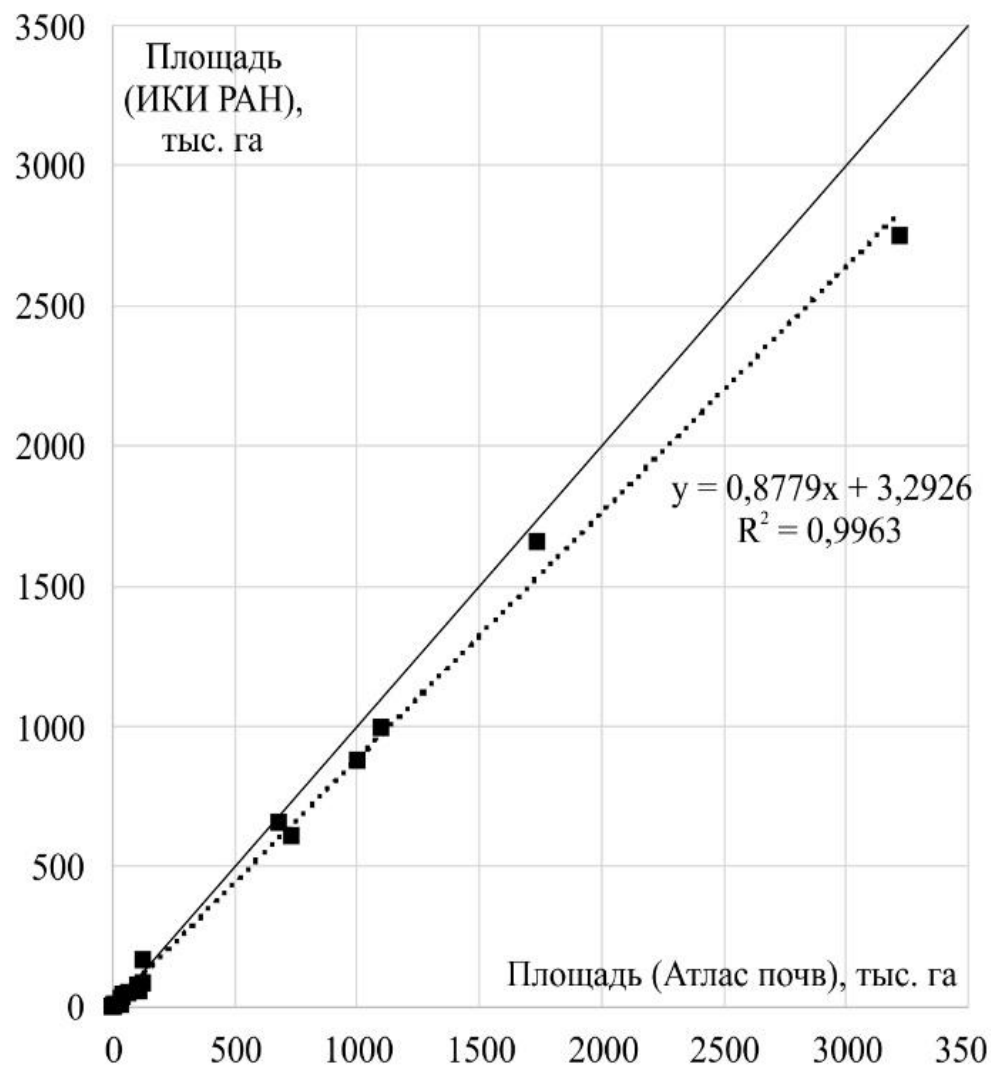
| № | Тип | Точность | Полнота | F1 | Площадь, млн га |
|----------------|--|----------|---------|------|-----------------|
| 1 | Сосново-кустарничково-сфагновое болото (рям) | 0,91 | 0,78 | 0,84 | 1,03 |
| 2 | Рямово-мочажинный комплекс | 0,83 | 0,83 | 0,83 | 1,90 |
| 3 | Грядово-мочажинный комплекс | 0,97 | 0,98 | 0,97 | 6,29 |
| 4 | Травяно-сфагновая топь | 0,96 | 0,66 | 0,78 | 0,13 |
| 5 | Древесное кустарничково-мохово-разнотравное болото (согра) | 0,95 | 0,93 | 0,94 | 3,24 |
| 6 | Осоково-гипновое болото | 0,96 | 0,99 | 0,97 | 1,12 |
| 7 | Внутриболотные озера | 0,99 | 0,99 | 0,99 | - |
| Общая точность | | 0,96 | | | - |

Включение экосистем за пределами болот

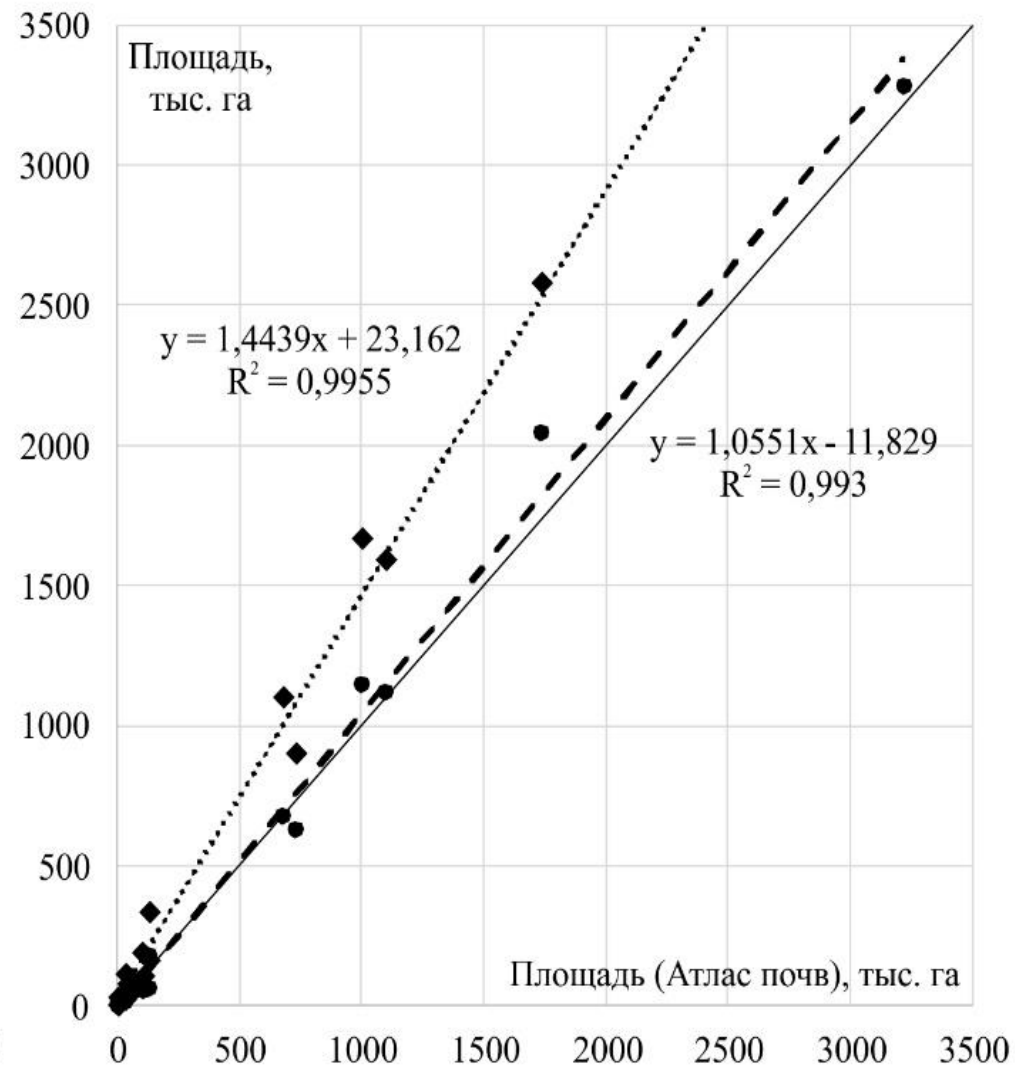
Картографирование болот Томской области



Картографирование болот Томской области

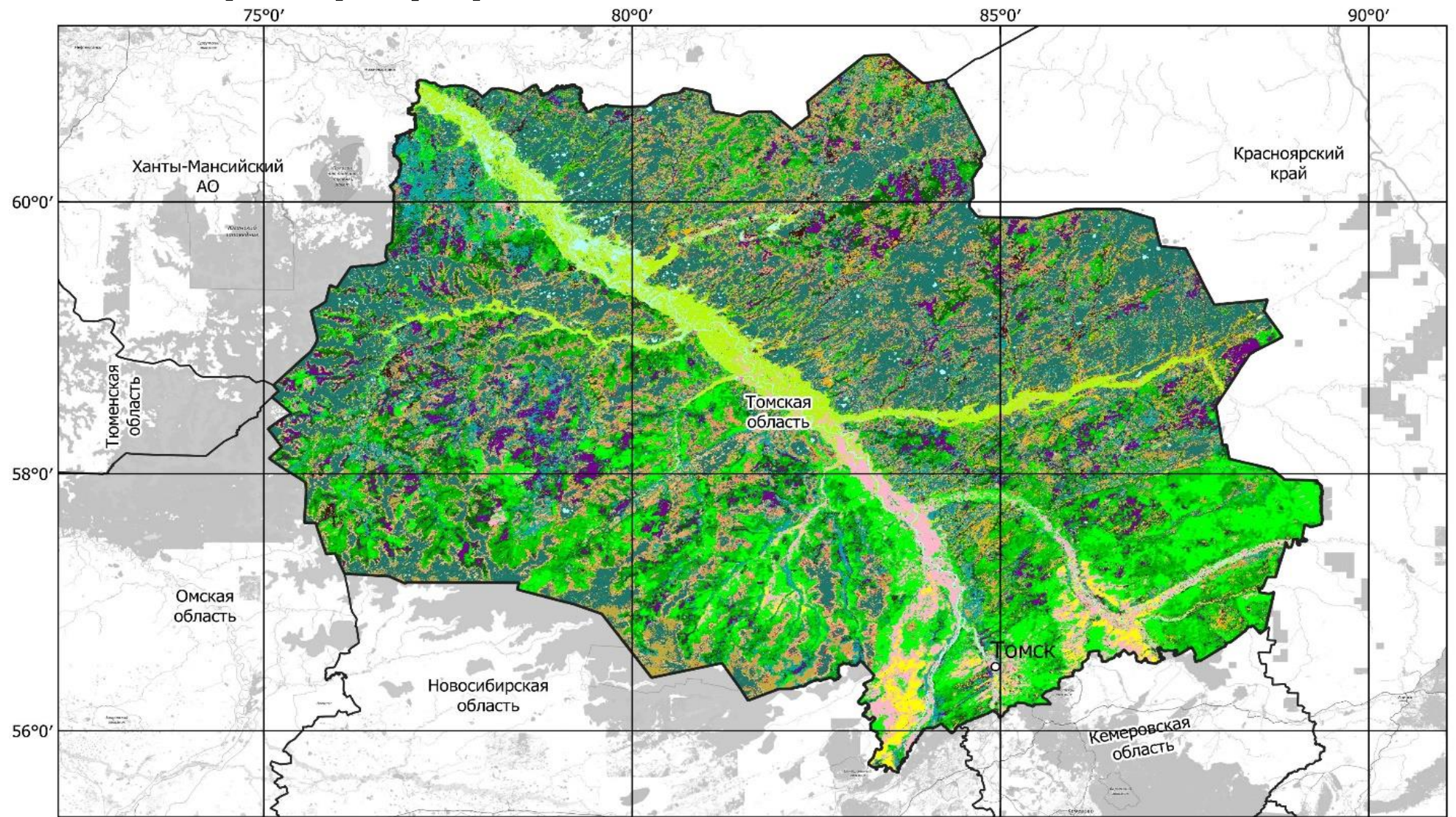


Карта ИКИ РАН

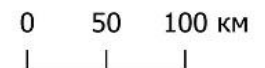


Карта ИКИ РАН с расширенной типологией болот

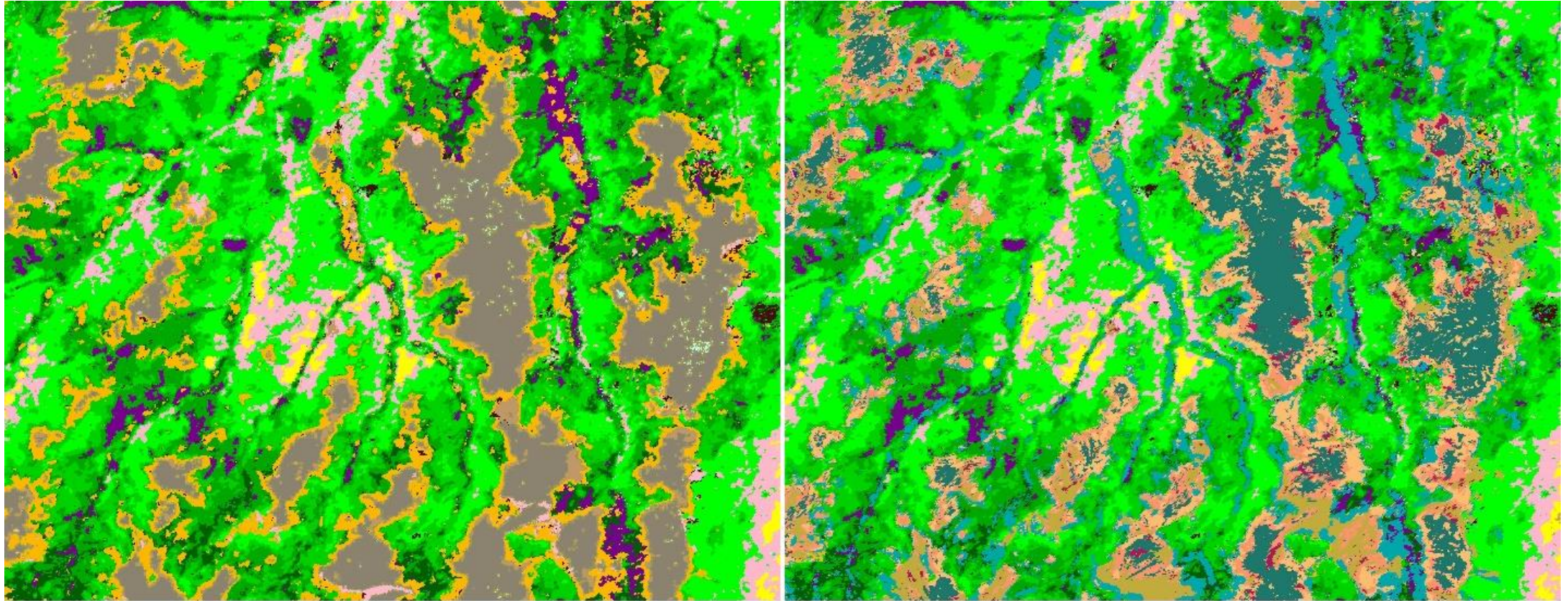
Картографирование болот Томской области



- | | | | |
|-------------------------------|---------------------------|----------------------------------|-----------------------------|
| □ Границы регионов | ■ Травяно-сфагновая топь | ■ Темнохвойный вечнозеленый лес | ■ Лиственные кустарники |
| ■ Рям | ■ Согра | ■ Светлохвойный вечнозеленый лес | ■ Луга |
| ■ Рямово-мочажинный комплекс | ■ Осоково-гипновое болото | ■ Лиственный лес | ■ Прибрежная растительность |
| ■ Грядово-мочажинный комплекс | ■ Внутриболотные озера | ■ Смешанный лес | ■ Пахотные земли |

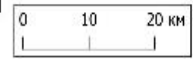


Картографирование болот Томской области



а

б



Карта ИКИ РАН

Карта ИКИ РАН с расширенной типологией болот

Оценки площадей болот Томской области

Данное исследование: 13,7 млн га болот, в том числе 4,3 млн га покрытых лесом (рямы, согры). Открытые болота – 9,4 млн га.

Почвенно-географическая БД России: 9,4 млн га болот за пределами лесного фонда на 2006 г. (soil-db.ru).

Лесоустройство: 8,7 млн га болот.

Площадь разведанных торфяных месторождений с промышленным потенциалом: 7,72 млн га (Инишева и др., 1995).

Карты торфяных месторождений M1:1000000 (1971; 2000; Xu et al., 2018): 10,4 млн га.

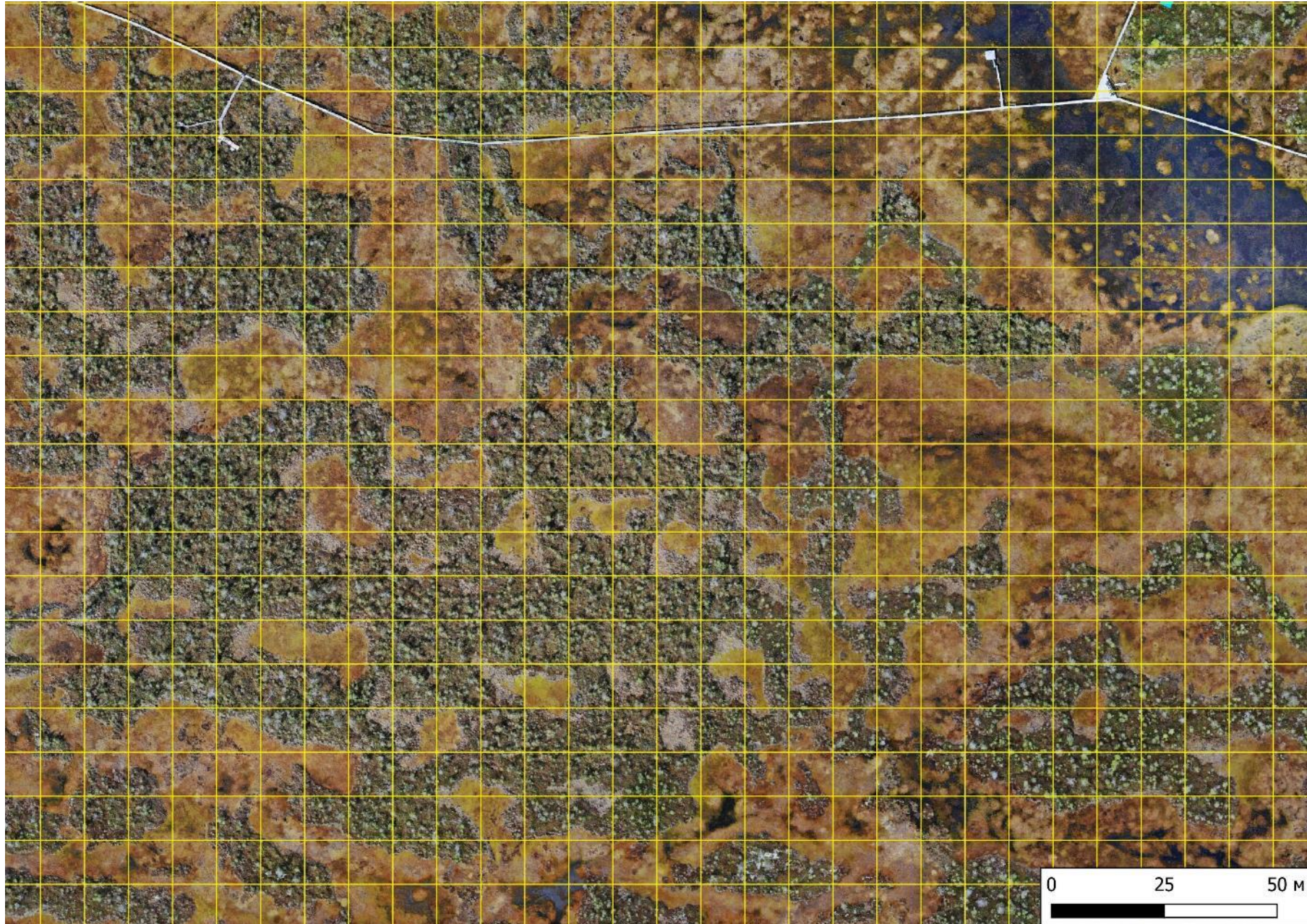
Карта торфяников и гистосолей (Hugelius et al., 2020): 8,1 млн га

Карта торфяников PeatML (Melton, 2022): 9,5 млн га

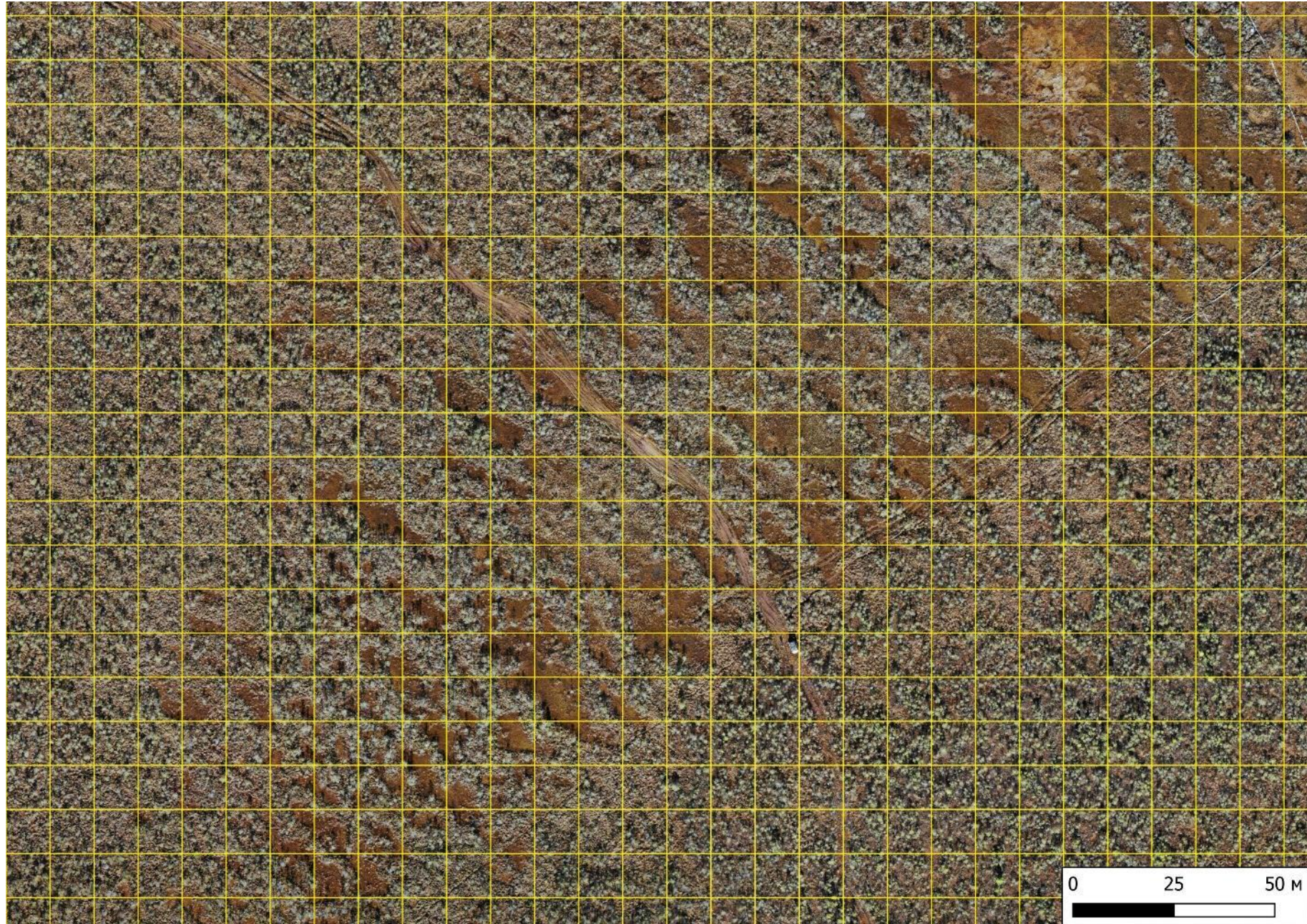
Необходимость повышения пространственного разрешения



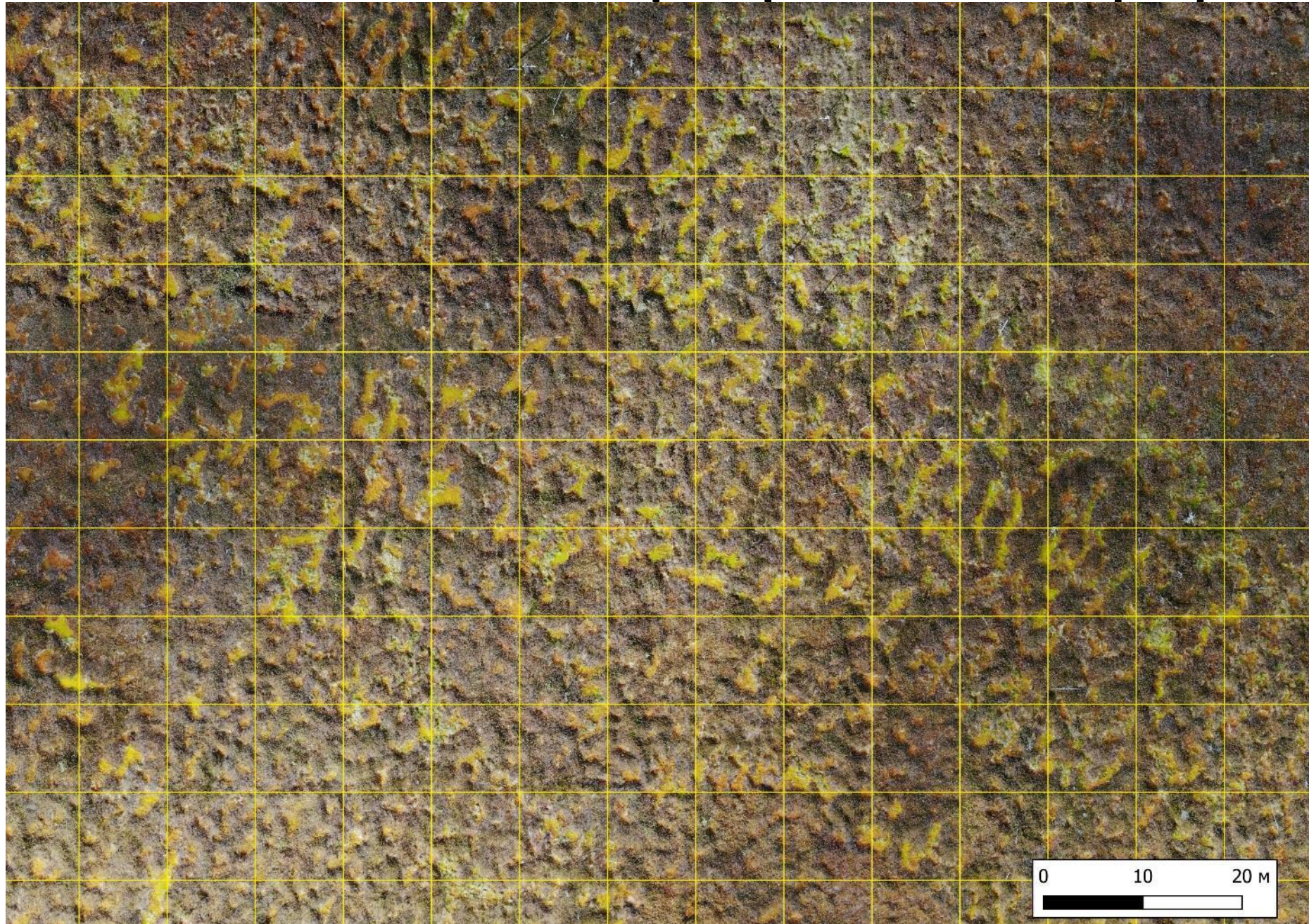
Необходимость повышения пространственного разрешения



Необходимость повышения пространственного разрешения

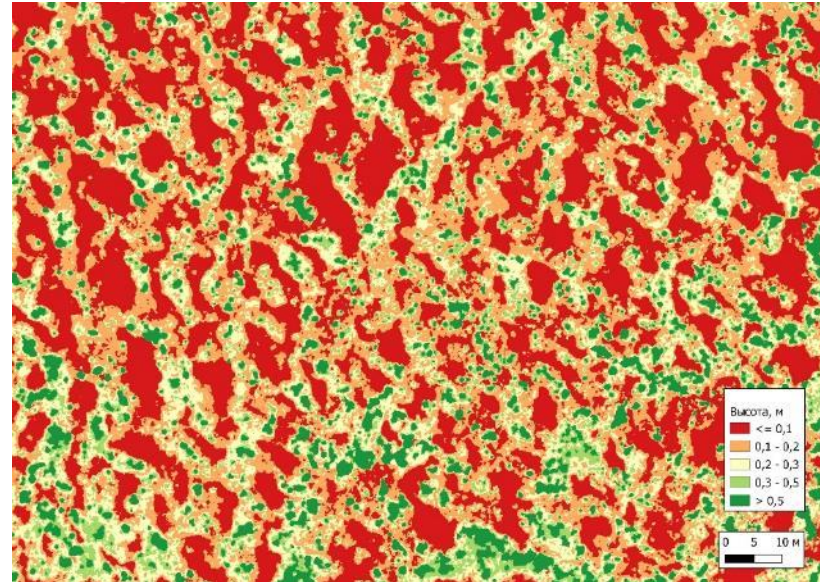
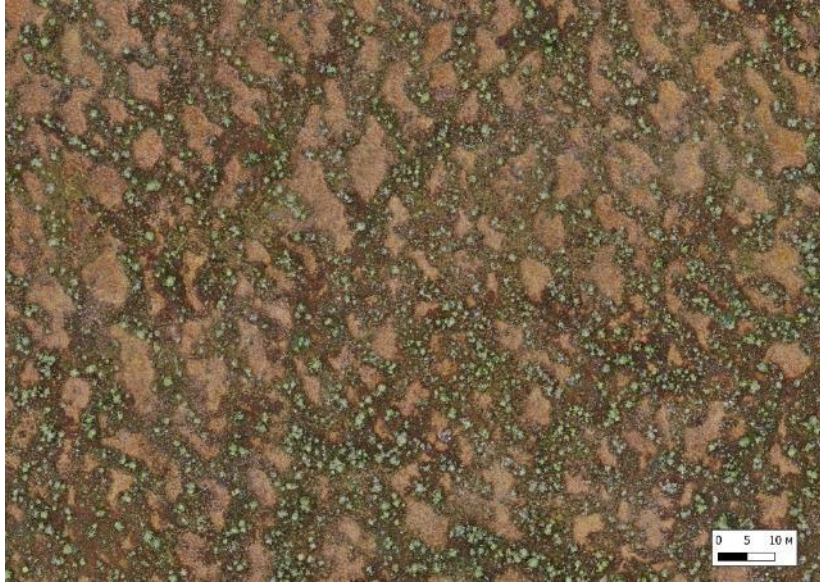


Необходимость повышения пространственного разрешения

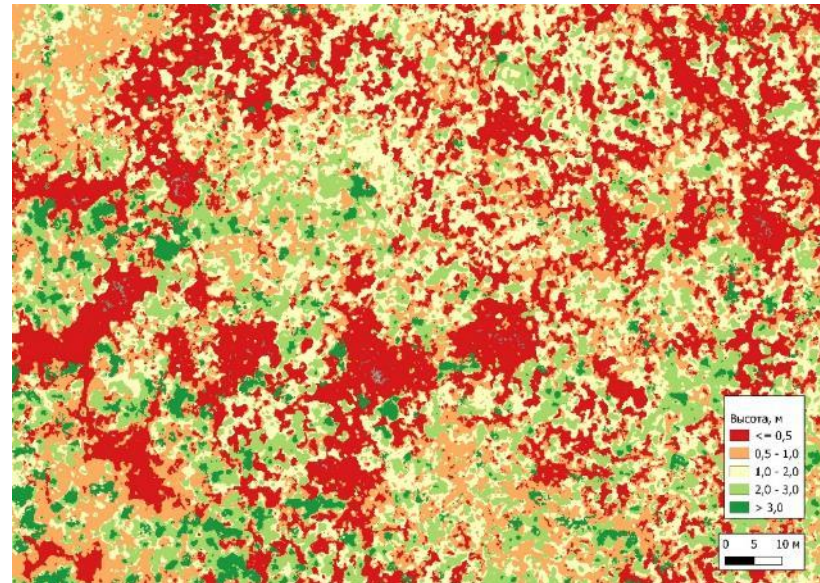


Данные аэросъемки при картографировании болот

Ортофотоплан



Разница
ЦММ и ЦМР



Для изучения цикла углерода болотных комплексов важно знать соотношение элементов микроландшафтов

Выводы

- Временные ряды спутниковых данных, зимние композитные изображения и ЦМР позволяют получать достаточно точные карты болотных комплексов.
- Добавление в опорные данные классов за пределами болот существенно повышает точность картографирования.
- Необходима разработка типологии болот для всей территории России, которая должна быть достаточно генерализованной, но в то же время отражать необходимые особенности болотных комплексов.
- Возможно картографирование соотношений элементов микроландшафтов болот при интеграции с данными аэросъемки.

СПАСИБО ЗА ВНИМАНИЕ!

**Шинкаренко Станислав
с.н.с. Отдела технологий спутникового мониторинга ИКИ РАН
shinkarenko@d902.iki.rssi.ru**

Исследование выполнено в рамках проекта Министерства науки и высшего образования РФ № 075-15-2022-1229 (13.2251.21.0179) «Применение технологий высокопроизводительных вычислений и больших данных для совместной разработки экономически эффективных автоматизированных методов широкомасштабного биомониторинга водно-болотных угодий. HPC and BigData applied to co-designing cost-efficient automation for large scale wetland biomonitoring»